

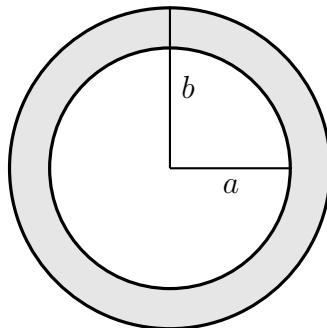
Faglærer:
Johannes Skaar

EKSAMEN I EMNE TFE 4120 ELEKTROMAGNETISME

Mandag 3. august 2015

Oppgave 1

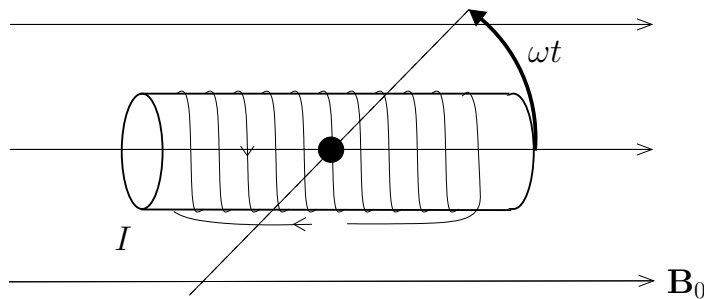
- a) Gitt to ideelt ledende, konsentriske kuleskall med radius henholdsvis a og b . Volumet mellom de to lederne (grått område på figuren) er først fylt med et rent dielektrisk medium med permittivitet ϵ . Finn kapasitansen til en slik kondensator.



- b) Kontroller svaret i a) ved å vise at kapasitansen blir som for en parallelplatekondensator når sjiktet mellom lederne blir veldig tynt. Hva blir kapasitansen til en enkelt ledende kule omgitt av materialet ϵ ? Tips: Betrakt denne som kulekondensatoren i a) når b er mye større enn a .
- c) Vi bytter nå ut det dielektriske mediet mellom de ledende kuleskallene med et delvis ledende medium med konduktivitet σ . Finn resistansen målt mellom de ledende kuleskallene.
- d) En ideell lederkule med radius a graves langt ned i jorda. Hva blir jordingsresistansen målt fra lederkula? En varm sommerdag klager det elektriske anlegget over at jordingsresistansen ikke er som den burde være. Hva kan årsaken være?

Oppgave 2

- a) En lang og tynn, tettviklet solenoide fører strømmen I . Solenoiden har N viklinger, radius a og lengde l . Finn den magnetiske flukstettheten \mathbf{B} i solenoiden. Du kan ta for gitt at \mathbf{B} er rettet langs akse til solenoiden, og at feltet utenfor solenoiden er neglisjerbart. Anta at permabiliteten er μ_0 overalt.
- b) Finn selvinduktansen L til solenoiden.
- c) Solenoiden fra forrige delspørsmål er festet til en turbin slik at den roterer med vinkelhastighet ω om en akse normalt på sylinderaksen, se fig. 1. Vannstrømmen som driver turbinen er regulert slik at turbinens vinkelhastighet ω er konstant. Vi antar først at solenoiden ikke er koblet til noe, så strømmen i den er null. Det er et homogent og tidsuavhengig felt \mathbf{B}_0 i området der solenoiden befinner seg. Feltet står normalt på rotasjonsaksen, og vi antar at ved $t = 0$ er solenoidens akse i samme retning som feltet. Finn den induerte emf'en e i solenoiden.



Figur 1: En tettviklet solenoide med N viklinger og radius a roteres i et uniformt \mathbf{B}_0 -felt. Rotasjonsaksen kommer ut av papiret, og er markert med en svart prikk i midten av solenoiden. Figuren viser et øyeblikk bilde ved $t = 0$. Etter en tid t har solenoiden rotert en vinkel ωt .

- d) Solenoiden er nå koblet til en last med resistans R som roterer med solenoiden. Forklar hvorfor systemet tilfredsstiller følgende ligning

$$e - L \frac{dI}{dt} = RI, \quad (1)$$

der e er emf'en du fant i forrige deloppgave.

- e) Finn I under forutsetning av at L er neglisjerbar. Finn også (det mekaniske) momentet \mathbf{T} som virker på solenoiden pga. strømmen.
- f) Kraftverket som vi har sett på i denne oppgaven, er eneste kraftforsyning til et isolert samfunn uten elektrisk tilknytning til utenomverden. I en kjent sketsj "Norsk sluttstrøm" påstås det at det er nødvendig å bruke opp "den strømmen som blir til overs". Dvs. hvis forbrukerne ikke bruker opp alt som produseres, må de flittige arbeidsskarene i "Norsk sluttstrøm" gjøre det. Ut fra modellen vi har sett på i denne oppgaven, forklar hvorfor sketsjen bare må være tull.

Oppgave 3

Til hvert av spørsmålene som er stilt nedenfor, er det foreslått 4 svar. Oppgi hvilket svar du mener er best dekkende for hvert spørsmål. Svarene, som ikke skal begrunnes, avgis i skjemaet på siste side. Denne siden rives fra og leveres inn som del av besvarelsen.

Det gis 3 poeng for hvert riktig svar, -1 poeng for hvert galt svar og 0 poeng for ubesvart. Helgardering (mer enn ett kryss) gir 0 poeng.

- a) Se på bildet av en magnet som har trukket til seg jernfilspon. Hvorfor er det mest spon på hjørnene og kantene til magneten?



Figur 2: En magnet har trukket til seg jernfilspon.

- i) Fordi magnetiseringen i permanentmagneter alltid er sterkest ved hjørnene.
 - ii) Kraften på en magnetisk dipol i et uniformt \mathbf{B} -felt er null. Der feltet endrer seg raskt med posisjon, fås derimot en stor kraft.
 - iii) Kraften på en magnetisk dipol er størst der \mathbf{B} -feltet er uniformt.
 - iv) Fordi han som tok bildet har flyttet på jernfilsponet for å få et fint bilde.
- b) Du finner på en nettside at energien i et elektromagnetisk system er gitt av

$$W = 2QV + Ba^2J, \quad (2)$$

der Q er ladning, V er potensialforskjell, B er B -felt, a er en lengde og J er strømtetthet. En dimensjonsanalyse viser at

- i) Begge leddene er feil.
- ii) Det første leddet har riktig dimensjon mens det andre er feil.
- iii) Det første leddet er feil mens det andre har riktig dimensjon.
- iv) Begge leddene har riktig dimensjon.

- c) Vi ønsker å fordoble kapasitansen til en parallellplatekondensator. Dette får vi til ved å
- i) fordoble avstanden mellom platene og fireoble ϵ til det dielektriske mediet mellom platene.
 - ii) halvere avstanden mellom platene.
 - iii) la platene få dobbelt så stort areal.
 - iv) Alle alternativene ovenfor er korrekte.
- d) En parallellplatekondensator består av to parallelle, kvadratiske lederplater, hver med areal a^2 , og med en avstand d mellom seg. Anta at $d \ll a$. Området mellom platene er fylt av et medium med permanent polarisering \mathbf{P} . Hvis vi definerer kapasitansen til å være $C = dQ/dV$, hva er riktig?
- i) $C = \epsilon_0 a^2/d$.
 - ii) $C = \epsilon a^2/d$.
 - iii) $C = \epsilon_0 a^2/d + P a^2/d$.
 - iv) $C = \epsilon_0 a^2/d + P$.
- e) B. Flusk skal finne \mathbf{B} -feltet i sentrum av en ring som fører den konstante strømmen I . Ringen har radius a , og det er vakuum overalt rundt ringen. Han skriver som følger: "Bruker Amperes lov og får vha. symmetri at $H2\pi a = I$, og derfor $B = \mu_0 H = \mu_0 I/(2\pi a)$. Hva vil du si til Flusk?
- i) Både metoden og svaret er riktige (men gjør bedre rede for symmetriargumentet)!
 - ii) Verken metoden eller svaret er riktig. Hvilken kurve har du integrert over, og hvilken vei er \mathbf{H} rettet langs denne kurven?
 - iii) Ærlig talt, du er en stor idiot! Bruk i stedet loven "B-felt som ringer er som fiskens finger".
 - iv) Glem Amperes lov da. Apropos ringer, vil du gifte deg med meg?

Formler i elektromagnetisme:

$$\mathbf{F} = \frac{Qq}{4\pi\epsilon R^2} \hat{\mathbf{R}}, \quad \mathbf{E} = \mathbf{F}/q, \quad V_P = \int_P^{\text{ref}} \mathbf{E} \cdot d\mathbf{l}, \quad V = \frac{Q}{4\pi\epsilon R}, \quad \mathbf{E} = -\nabla V,$$

$$\oint_S \mathbf{D} \cdot d\mathbf{S} = Q_{\text{fri i } S}, \quad \nabla \cdot \mathbf{D} = \rho, \quad \mathbf{D} = \epsilon_0 \mathbf{E} + \mathbf{P}, \quad \mathbf{P} = \epsilon_0 \chi_e \mathbf{E}, \quad \mathbf{D} = \epsilon \mathbf{E},$$

$$\epsilon = \epsilon_0(1 + \chi_e), \quad C = Q/V, \quad C = \epsilon S/d, \quad W_e = \frac{1}{2} CV^2, \quad w_e = \frac{1}{2} \mathbf{D} \cdot \mathbf{E},$$

$$\mathbf{p} = Q\mathbf{d}, \quad \mathbf{J} = NQ\mathbf{v}, \quad \mathbf{J} = \sigma \mathbf{E}, \quad P_J = \int_v \mathbf{J} \cdot \mathbf{E} dv,$$

$$d\mathbf{B} = \frac{\mu_0}{4\pi} \frac{I d\mathbf{l} \times \hat{\mathbf{R}}}{R^2}, \quad d\mathbf{F} = I d\mathbf{l} \times \mathbf{B}, \quad \mathbf{F} = Q(\mathbf{E} + \mathbf{v} \times \mathbf{B}), \quad \mathbf{T} = \mathbf{m} \times \mathbf{B},$$

$$\mathbf{m} = I\mathbf{S}, \quad \mathbf{H} = \frac{\mathbf{B}}{\mu_0} - \mathbf{M}, \quad \mathbf{M} = \chi_m \mathbf{H}, \quad \mathbf{B} = \mu \mathbf{H}, \quad \mu = \mu_0(1 + \chi_m),$$

$$\nabla \cdot \mathbf{B} = 0, \quad \oint_C \mathbf{H} \cdot d\mathbf{l} = \int_S \mathbf{J} \cdot d\mathbf{S}, \quad w_m = \frac{1}{2} \mathbf{B} \cdot \mathbf{H},$$

$$L_{12} = \frac{\Phi_{12}}{I_1} = L_{21} = \frac{\Phi_{21}}{I_2}, \quad L = \frac{\Phi}{I}, \quad W_m = \frac{1}{2} \sum_{k=1}^n I_k \Phi_k = \frac{1}{2} \sum_{j=1}^n \sum_{k=1}^n L_{jk} I_j I_k,$$

$$\mathbf{F} = -(\nabla W_m)_{\text{uten kilder eller tap}}, \quad \mathbf{F} = +(\nabla W_m)_{I=\text{konst}}, \quad \nabla \cdot \mathbf{J} + \frac{\partial \rho}{\partial t} = 0.$$

Maxwells likninger:

$$\nabla \times \mathbf{E} = -\frac{\partial \mathbf{B}}{\partial t}, \quad \oint_C \mathbf{E} \cdot d\mathbf{l} = -\int_S \frac{\partial \mathbf{B}}{\partial t} \cdot d\mathbf{S}, \quad e = -\frac{d\Phi}{dt},$$

$$\nabla \times \mathbf{H} = \mathbf{J} + \frac{\partial \mathbf{D}}{\partial t}, \quad \oint_C \mathbf{H} \cdot d\mathbf{l} = \int_S \left(\mathbf{J} + \frac{\partial \mathbf{D}}{\partial t} \right) \cdot d\mathbf{S},$$

$$\nabla \cdot \mathbf{D} = \rho, \quad \oint_S \mathbf{D} \cdot d\mathbf{S} = Q_{\text{fri i } S},$$

$$\nabla \cdot \mathbf{B} = 0, \quad \oint_S \mathbf{B} \cdot d\mathbf{S} = 0.$$

Potensialer i elektrodynamikken:

$$\mathbf{B} = \nabla \times \mathbf{A}, \quad \mathbf{E} = -\nabla V - \frac{\partial \mathbf{A}}{\partial t}, \quad \nabla^2 V - \epsilon\mu \frac{\partial^2 V}{\partial t^2} = -\frac{\rho}{\epsilon}, \quad \nabla^2 \mathbf{A} - \epsilon\mu \frac{\partial^2 \mathbf{A}}{\partial t^2} = -\mu \mathbf{J},$$

$$V(\mathbf{r}, t) = \frac{1}{4\pi\epsilon} \int_v \frac{\rho(\mathbf{r}', t - R/c) dv'}{R}, \quad \mathbf{A}(\mathbf{r}, t) = \frac{\mu}{4\pi} \int_v \frac{\mathbf{J}(\mathbf{r}', t - R/c) dv'}{R}.$$

Grensebetingelser:

$$\mathbf{E}_{1t} = \mathbf{E}_{2t}, \quad \mathbf{D}_{1n} - \mathbf{D}_{2n} = \rho_s \hat{\mathbf{n}}, \quad \mathbf{H}_{1t} - \mathbf{H}_{2t} = \mathbf{J}_s \times \hat{\mathbf{n}}, \quad \mathbf{B}_{1n} = \mathbf{B}_{2n}.$$

Konstanter:

$$\mu_0 = 4\pi \cdot 10^{-7} \text{ H/m}$$

$$\epsilon_0 = 1/(\mu_0 c_0^2) \approx 8.854 \cdot 10^{-12} \text{ F/m}$$

$$\text{Lyshastighet i vakuum: } c_0 = 1/\sqrt{\mu_0 \epsilon_0} = 299792458 \text{ m/s} \approx 3.0 \cdot 10^8 \text{ m/s}$$

$$\text{Lyshastighet i et medium: } c = 1/\sqrt{\mu \epsilon}$$

$$\text{Elementærladningen: } e = 1.6 \cdot 10^{-19} \text{ C}$$

$$\text{Elektronets hvilemasse: } m_e = 9.11 \cdot 10^{-31} \text{ kg}$$

$$\text{Standard tyngdeakselerasjon: } g = 9.80665 \text{ m/s}^2$$

$$\text{Gravitasjonskonstant: } \gamma = 6.673 \cdot 10^{-11} \text{ N} \cdot \text{m}^2/\text{kg}^2.$$

Differensielle vektoridentiteter:

$$\begin{aligned} \hat{\mathbf{x}} \cdot \nabla V &= \frac{\partial V}{\partial x} \quad (x \text{ vilkårlig akse}) \\ \nabla(V+W) &= \nabla V + \nabla W \\ \nabla(VW) &= V\nabla W + W\nabla V \\ \nabla f(V) &= f'(V)\nabla V \\ \nabla(\mathbf{A} \cdot \mathbf{B}) &= (\mathbf{A} \cdot \nabla)\mathbf{B} + (\mathbf{B} \cdot \nabla)\mathbf{A} \\ &\quad + \mathbf{A} \times (\nabla \times \mathbf{B}) + \mathbf{B} \times (\nabla \times \mathbf{A}) \\ \nabla \cdot (\mathbf{A} + \mathbf{B}) &= \nabla \cdot \mathbf{A} + \nabla \cdot \mathbf{B} \\ \nabla \cdot (V\mathbf{A}) &= V\nabla \cdot \mathbf{A} + \mathbf{A} \cdot \nabla V \\ \nabla \cdot (\mathbf{A} \times \mathbf{B}) &= \mathbf{B} \cdot \nabla \times \mathbf{A} - \mathbf{A} \cdot \nabla \times \mathbf{B} \\ \nabla \times (\mathbf{A} + \mathbf{B}) &= \nabla \times \mathbf{A} + \nabla \times \mathbf{B} \\ \nabla \times (V\mathbf{A}) &= (\nabla V) \times \mathbf{A} + V\nabla \times \mathbf{A} \\ \nabla \cdot (\nabla \times \mathbf{A}) &= 0 \\ \nabla \cdot (\nabla V) &= \nabla^2 V \\ \nabla \times (\nabla V) &= 0 \\ \nabla \times (\nabla \times \mathbf{A}) &= \nabla(\nabla \cdot \mathbf{A}) - \nabla^2 \mathbf{A} \end{aligned}$$

Integralidentiteter:

$$\begin{aligned} \int_v \nabla V dv &= \oint_S V d\mathbf{S} \\ \int_v \nabla \cdot \mathbf{A} dv &= \oint_S \mathbf{A} \cdot d\mathbf{S} \quad (\text{Divergensteoremet}) \\ \int_v \nabla \times \mathbf{A} dv &= \oint_S d\mathbf{S} \times \mathbf{A} \\ \int_S \nabla \times \mathbf{A} \cdot d\mathbf{S} &= \oint_C \mathbf{A} \cdot d\mathbf{l} \quad (\text{Stokes' teorem}) \end{aligned}$$

Kartesisk koordinatsystem:

$$\begin{aligned} \nabla V &= \frac{\partial V}{\partial x} \hat{\mathbf{x}} + \frac{\partial V}{\partial y} \hat{\mathbf{y}} + \frac{\partial V}{\partial z} \hat{\mathbf{z}} \\ \nabla \cdot \mathbf{A} &= \frac{\partial A_x}{\partial x} + \frac{\partial A_y}{\partial y} + \frac{\partial A_z}{\partial z} \\ \nabla \times \mathbf{A} &= \hat{\mathbf{x}} \left(\frac{\partial A_z}{\partial y} - \frac{\partial A_y}{\partial z} \right) \\ &\quad + \hat{\mathbf{y}} \left(\frac{\partial A_x}{\partial z} - \frac{\partial A_z}{\partial x} \right) + \hat{\mathbf{z}} \left(\frac{\partial A_y}{\partial x} - \frac{\partial A_x}{\partial y} \right) \\ \nabla^2 V &= \frac{\partial^2 V}{\partial x^2} + \frac{\partial^2 V}{\partial y^2} + \frac{\partial^2 V}{\partial z^2} \\ \nabla^2 \mathbf{A} &= (\nabla^2 A_x) \hat{\mathbf{x}} + (\nabla^2 A_y) \hat{\mathbf{y}} + (\nabla^2 A_z) \hat{\mathbf{z}} \end{aligned}$$

Sylindrisk koordinatsystem:

$$\begin{aligned} \nabla V &= \frac{\partial V}{\partial r} \hat{\mathbf{r}} + \frac{1}{r} \frac{\partial V}{\partial \phi} \hat{\phi} + \frac{\partial V}{\partial z} \hat{\mathbf{z}} \\ \nabla \cdot \mathbf{A} &= \frac{1}{r} \frac{\partial(rA_r)}{\partial r} + \frac{1}{r} \frac{\partial A_\phi}{\partial \phi} + \frac{\partial A_z}{\partial z} \\ \nabla \times \mathbf{A} &= \hat{\mathbf{r}} \left(\frac{1}{r} \frac{\partial A_z}{\partial \phi} - \frac{\partial A_\phi}{\partial z} \right) \\ &\quad + \hat{\phi} \left(\frac{\partial A_r}{\partial z} - \frac{\partial A_z}{\partial r} \right) + \hat{\mathbf{z}} \left(\frac{\partial(rA_\phi)}{\partial r} - \frac{\partial A_r}{\partial \phi} \right) \\ \nabla^2 V &= \frac{1}{r} \frac{\partial}{\partial r} \left(r \frac{\partial V}{\partial r} \right) + \frac{1}{r^2} \frac{\partial^2 V}{\partial \phi^2} + \frac{\partial^2 V}{\partial z^2} \end{aligned}$$

Sfærisk koordinatsystem:

$$\begin{aligned} \nabla V &= \frac{\partial V}{\partial r} \hat{\mathbf{r}} + \frac{1}{r} \frac{\partial V}{\partial \theta} \hat{\theta} + \frac{1}{r \sin \theta} \frac{\partial V}{\partial \phi} \hat{\phi} \\ \nabla \cdot \mathbf{A} &= \frac{1}{r^2} \frac{\partial(r^2 A_r)}{\partial r} \\ &\quad + \frac{1}{r \sin \theta} \frac{\partial(\sin \theta A_\theta)}{\partial \theta} + \frac{1}{r \sin \theta} \frac{\partial A_\phi}{\partial \phi} \\ \nabla \times \mathbf{A} &= \frac{\hat{\mathbf{r}}}{r \sin \theta} \left(\frac{\partial(\sin \theta A_\phi)}{\partial \theta} - \frac{\partial A_\theta}{\partial \phi} \right) \\ &\quad + \frac{\hat{\theta}}{r} \left(\frac{1}{\sin \theta} \frac{\partial A_r}{\partial \phi} - \frac{\partial(rA_\phi)}{\partial r} \right) \\ &\quad + \frac{\hat{\phi}}{r} \left(\frac{\partial(rA_\theta)}{\partial r} - \frac{\partial A_r}{\partial \theta} \right) \\ \nabla^2 V &= \frac{1}{r^2} \frac{\partial}{\partial r} \left(r^2 \frac{\partial V}{\partial r} \right) \\ &\quad + \frac{1}{r^2 \sin \theta} \frac{\partial}{\partial \theta} \left(\sin \theta \frac{\partial V}{\partial \theta} \right) \\ &\quad + \frac{1}{r^2 \sin^2 \theta} \frac{\partial^2 V}{\partial \phi^2} \end{aligned}$$

EMNE TFE4120 ELEKTROMAGNETISME

KANDIDATNR.:

Svarkupong

Merk med kryss i de aktuelle rutene. Kun ett kryss for hvert spørsmål.

Spørsmål	Alt. i)	Alt. ii)	Alt. iii)	Alt. iv)
a)				
b)				
c)				
d)				
e)				